

島根原子力発電所 3号炉 審査資料	
資料番号	S3-EP-004改04(説1)
提出年月日	2023年3月30日

島根原子力発電所 3号炉 炉心解析コード（LANCR/AETNA） (妥当性確認と許認可解析への適用性について)

2023年3月
中国電力株式会社

本資料のうち、枠囲みの内容は機密に係る事項のため公開できません。

Energia

目 次

はじめに	P.2
審査会合における指摘事項一覧	P.3
1. 炉心解析コード（LANCR/AETNA）の概要	P.6
2. 許認可解析への適用性確認手順	P.7
3. 妥当性確認	P.8
4. 妥当性確認結果	P.23
5. 許認可解析への適用性確認	P.29
6. まとめ	P.32
別紙 審査会合における指摘事項に対する回答	P.33
参考① 妥当性確認において留意すべき事項とその対応	P.51

※ 本資料内で“ [] ”内の章または番号は、「島根原子力発電所 3号炉 LANCR/AETNAコード説明書（以降、「コード説明書」という。）」における該当箇所を示す。

はじめに

➤ 島根 3号炉チャンネルボックス厚変更に伴う許認可解析に対する
炉心解析コード（LANCR/AETNA）の適用性に関して、以下の項目を説明する。

○ 重要現象についてのモデル化と妥当性確認について [2章]

- ・モデル化と妥当性確認の網羅性について
- ・モデル化の網羅性確認
- ・妥当性確認の網羅性確認

○ 解析モデル [3章]

- ・LANCR 解析モデル
- ・AETNA 解析モデル

○ 検証及び妥当性確認 [4章]

- ・LANCR の検証及び妥当性確認
- ・AETNA の検証及び妥当性確認

○ 許認可解析への適用 [5章]

- ・許認可解析へのLANCR/AETNA コード適用

：ご説明済の範囲

：本日ご説明範囲

審査会合における指摘事項一覧（1 / 3）

No.	審査会合日	指摘事項の内容	回答頁
4	2022年9月29日	検証及び妥当性確認のプロセスが適切に実施されているかを確認するため、当該プロセスの内容を整理すること。なお、学協会基準等を参照した場合は、参照した基準等を示すこと。	本日回答 (別紙P.33, 34)
5	2022年9月29日	妥当性確認に採用している試験データ等について、解析結果と比較するにあたって、想定している炉心状態を網羅しているか、信頼性のある試験データなどを含め、試験データ等の選定の考え方を整理すること。	本日回答 (P.10, 19~22) (別紙P.35~39)
6	2022年9月29日	試験データ等と比較した結果により、妥当と判断した考え方（どういう観点から、何を満たしていればよいと考えるのか）を整理すること。	本日回答 (P.8, 9) (別紙P.40, 41)
7	2022年9月29日	安全解析コード等の入力となるLANCR/AETNAコードの出力を整理し、必要に応じて当該出力から安全解析コード等への入力のための処理プロセスも示すこと。	本日回答 (別紙P.42, 43)
8	2022年9月29日	妥当性確認プロセスから、どのように解析コードの不確かさの値を算出しているのか整理すること。	本日回答 (P.24, 27) (別紙P.44, 45)
9	2022年9月29日	解析コードの不確かさと設計における設定値との比較においては、解析コード以外の不確かさ（取替炉心段階に生じる不確かさ等）の値も示した上で、設計における設定値内であることを示すこと。	本日回答 (P.30) (別紙P.46)

審査会合における指摘事項一覧（2 / 3）

No.	審査会合日	指摘事項の内容	回答頁
10	2022年12月13日	手順⑤のLANCR/AETNAの達成すべき予測性能について、指標となるパラメータの選定及び許容される不確かさ等の達成基準の考え方を説明すること。また、安全解析の対象となる平衡炉心の成立性に關しても、予測性能を設定する必要はないか説明すること。	本日回答 (P.29) (別紙P.47)
11	2022年12月13日	手順④の“モデル実装/コード検証/解検証はメーカーのQMSにより達成されることを前提としている”について、事業者におけるQMS上の調達管理としてどのように確認したのか具体例を示しつつ、説明すること。	後日回答
12	2022年12月13日	手順④の妥当性確認を通じた総括不確かさの評価について、物理的モデルの不確かさの影響についても説明すること。	本日回答 (P.24, 27, 31) (別紙P.48~50)
13	2022年12月13日	階層構造分析による物理現象の整理について、システムを炉心（シミュラウド内）に限定している理由を説明すること。外部ループ（再循環系、給復水系）、原子炉ドーム圧、システムの境界を構成する構造物等の炉心外の要素がどのように取り扱われているか説明すること。	後日回答
14	2022年12月13日	各PIRTでランクLとした項目のうち、参考文献以外を判断根拠としているものについて、感度解析等の結果を根拠としているものについては、そのデータを示して根拠を説明すること。	後日回答

審査会合における指摘事項一覧（3 / 3）

No.	審査会合日	指摘事項の内容	回答頁
15	2022年12月13日	モデル化されていない物理現象の扱いについて、モデル化しないことによる不確かさへの影響等をどのように考慮しているかを説明すること。	後日回答
16	2023年3月28日	LANCRにおける従来コードから変更された解析モデルについて、LANCR以外の「燃料集合体核特性計算コード」において使用実績があるか、また、AETNAにおける従来コードから変更された解析モデルについて、AETNA以外の「三次元沸騰水型原子炉模擬計算コード」において使用実績があるか、整理して説明すること。	後日回答

1. 炉心解析コード（LANCR/AETNA）の概要

システム概要

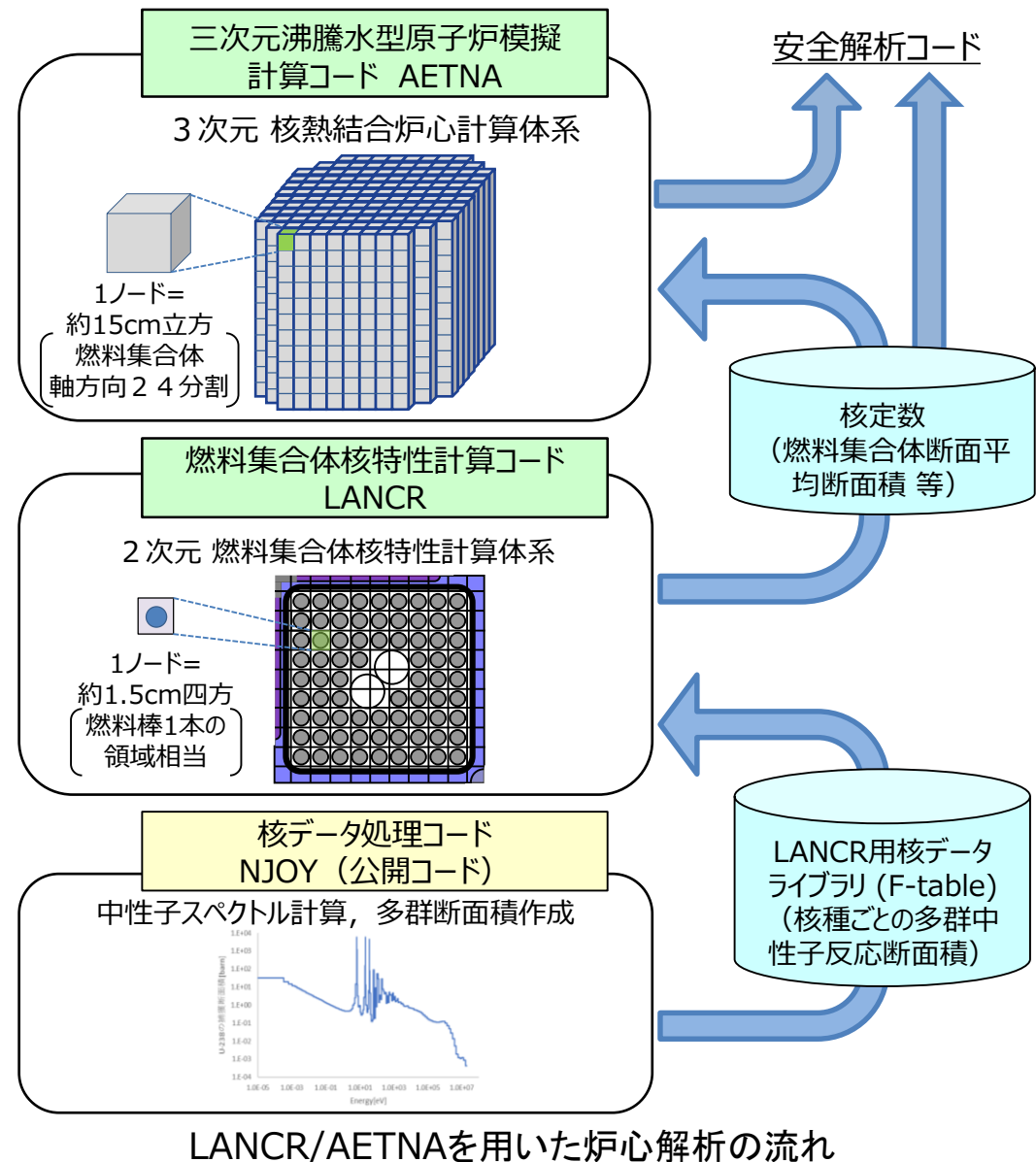
炉心解析コードの構成

AETNA：炉心全体に対して、燃料集合体単位の特性を用いた3次元の核熱水力反復計算を行い、出力分布や炉停止余裕などの各種炉心特性を評価する。

LANCR：燃料集合体の断面に対して燃料棒単位の詳細な核計算を2次元体系で実施し、AETNAに必要な燃料集合体断面の平均的な核特性を計算する。

LANCRの計算に必要な核データライブラリは、評価済み核データを公開コードNJOY^{*1}で処理し、F-table形式で作成する。（炉心解析コードでは同様の手順が広く用いられる。）

*1 : NJOYはNJOY99を使用



2. 許認可解析への適用性確認手順

適用性確認手順

- LANCR/AETNAの島根3号炉許認可解析への適用性確認手順を以下に示す。以降では、手順③～⑤の実施内容を説明する。

LANCR/AETNAの島根3号炉許認可解析への適用性確認手順

手 順		使用するツール / 判断方法
①	炉心体系に関する物理現象を抽出し、その中から炉心解析において重要な現象を特定する。	重要度ランクイングテーブル（PIRT） →重要な現象が特定されていること
②	①で特定した重要な現象のモデル化の有無を確認し、モデル化されていないものについて取り扱いを説明する。	モデル性能比較表 →各現象に対し“○”(該当モデル)が一つ以上あること
③	②で示された現象に対して、もれなく妥当性確認が実施されていることを確認する。	モデル性能評価表 →各現象に対し“○”(該当試験)が一つ以上あること
④	LANCR/AETNAの適用範囲に対し、上記で示された妥当性確認の試験条件が包括していることを確認する。	LANCR/AETNAの適用範囲と妥当性確認範囲の対応表 →適用範囲が妥当性確認範囲に含まれること
⑤	妥当性確認を通して整理された不確かさ又はこれらの積算値が、設計における設定値を下回っていることを確認する。	注目すべき応答変量と要求すべき予測性能の比較表 →不確かさが要求性能を下回ること

手順および
実施内容とも
ご説明済

手順はご説明済
実施内容を本日
ご説明

3. 妥当性確認

妥当性確認における実施項目

➤ 妥当性確認における実施項目を以下に示す。

信頼性確認

- ✓ 重要な物理現象に対する解析モデルの模擬性を確認する。
- ✓ 模擬性を確認する際に達成すべき点は以下のとおり。
 - 確認は全ての重要な物理現象を網羅すること。
 - 確認は以下の解析条件に対して網羅性があること。

炉型・格子タイプ・燃料タイプ

運転状態

適用範囲

不確かさの把握

- ✓ 許認可解析への適用性確認（手順⑤）に必要な不確かさを定量的に把握する。

3. 妥当性確認

妥当性確認で実施する試験の区分

- LANCR/AETNAの妥当性確認について、試験内容を基に総合効果試験と個別効果試験の観点を導入し、特に重要な総合効果試験の観点で妥当性確認の充足性を確認する。
- 総合効果試験と個別効果試験の定義を以下に示す。

✓ 総合効果試験

AETNAの主要な解析モデルを機能させた運転状態に対する妥当性確認

例：出力分布確認試験

直接的には核分裂反応やガンマ線反応を起因とする出力の相対分布を測定値との比較で確認するものであるが、計算の過程ではボイド分布や圧損分布など、一部を除いたAETNAの主要な解析モデルがそれぞれの感度に応じて結果に影響を及ぼしている。

→ 炉心解析と同じ条件で不確かさが把握できるこれらの試験は重要性が高く、特に実機運転データによる試験は充足性を満たす必要がある。

✓ 個別効果試験

総合効果試験では結果に対する感度が低いなどの理由で確認が困難な物理現象について関連する解析モデルのみに着目し、それ以外の解析モデルの動作を制限した状態で行う妥当性確認

例：ボイド率測定試験、チャンネル圧損試験、核定数に対する準妥当性確認

→ 総合効果試験では確認が困難な現象（熱水力モデル）、あるいは測定頻度が少ない総合効果試験（例：燃料棒出力分布（ガンマスキャンとの比較））で確認している現象（例：局所出力）の補完として実施することで充足性を確保する。

3. 妥当性確認

妥当性確認で実施する試験の構成

➤ 妥当性確認で実施する試験の構成の考え方を以下に示す。

- ✓ 従来の炉心解析コードで採用していた実績のある試験をベースに、物理現象に対する網羅性、総合効果試験と個別効果試験の観点での試験データの充足性や、炉型・格子タイプ・燃料タイプ、運転状態および適用範囲に対する網羅性を確認し、必要な試験を追加。
- ✓ 追加した試験は、論文や信頼できる機関が報告書を発行しており不確かさが悪影響を及ぼさない程度に小さいものを採用。追加した試験を以下に示す。

- ① モンテカルロ計算による妥当性確認（個・L）
- ② モンテカルロ燃焼計算による妥当性確認（個・L）
- ③ 全炉心モンテカルロ計算による妥当性確認（個・A）
- ④ 燃料棒出力妥当性確認（ガンマスキャンとの比較）（総・A）
- ⑤ 安定性試験高次モード分布との比較（総・A）

計算機やコード解析能力の進展を踏まえ追加

海外知見の適用

“個”は個別効果試験、“総”は総合効果試験、“L”はLANCR、“A”はAETNAに該当する妥当性確認が存在することを示す。

3. 妥当性確認

物理現象に対する妥当性確認の網羅性確認方法

- 物理現象に対する妥当性確認の網羅性は、モデル性能評価表により確認する。確認方法を以下に示す。（参考にPIRTの最高ランキングおよびモデル性能比較表と併せて示すことで、関連する物理現象とその重要度、対応する解析モデルが判別できる。）

手順②モデル性能比較表：物理現象に対する解析モデルの網羅性
(2022年12月13日の審査会合にてご説明)

		重要度ランキング	モデル性能比較表				モデル性能評価表			
物理現象	現象1		モデルA	モデルB	モデルC	モデルD	妥当性確認 I	妥当性確認 II	妥当性確認 III	妥当性確認 IV
	現象2	M		○				○	○	
	現象4	M				○				○

手順①PIRT：重要な物理現象の特定
(2022年12月13日の審査会合にてご説明)

手順③モデル性能評価表：
物理現象に対する妥当性確認の網羅性
(各物理現象に 1 つ以上"○"があることにより網羅性を確認)

3. 妥当性確認

LANCR妥当性確認の物理現象に対する網羅性確認

- LANCRのモデル性能評価表による物理現象に対する妥当性確認の網羅性確認結果を以下に示す。

材料的現象	(物理現象)			重要度ランキング	モデル性能比較表 “-”：関連しない, “○”：関連する, “N/A”：モデル無	モデル性能評価表	
	(補足説明)					試験による妥当性確認	連続エネルギーモンテカルロ計算による妥当性確認
核的現象	中性子反応断面積	核分裂, 吸收, 散乱	H	ライラック(中性子・ガンマ) [3.1.1, 3.1.3.5.1] エネルギー群構造 [3.1.1, 3.1.3.5.1] 実効断面積計算 [3.1.2.2]			
光子反応	非均質性	自己遮蔽	H	詳細エネルギースペクトル計算 [3.1.2.3]			
構造物	中性子束分布		H	2次元 中性子輸送計算 [3.1.3] 2次元 ガンマ線輸送計算 [3.1.3.5.2]			
その他	光子反応断面積		M	出力分布計算 [3.1.3.7]			
	ガンマ線束分布		M	均質化定数計算 [3.1.3.8]			
	冷却材 化学組成変化	SLC	H	燃焼計算 (チーン・領域分割) [3.1.4]			
	3次元効果	燃焼スペクトル	M	燃焼スイッチ調整 [3.1.4.3]			
熱的・水力的現象	核分裂発熱		H	Babcock & Wilcox臨界試験			
核反応	ガンマ線発熱		M	NCAI臨界試験			
	減速材, 構造材直接発熱		M	Hellstrand実効共鳴構分の実験式			
	熱	冷却材密度分布	M	MISTRAL臨界試験			
	水力	冷却材物性変化	H	福島第二号炉の照射後試験 (ウラン燃料)			
放射線	燃料組成 (時間変化)	中性子反応, 放射崩壊	H	Dodewaard炉の照射後試験 (MOX燃料)			
	燃料組成 (分布)	Gd燃料棒	H	未燃焼組成燃料集合体に対する妥当性確認			
	制御棒組成	制御棒内の組成分布	M	ウラン濃縮度変化に対する妥当性確認			
	形状変化	チャンネルボックス曲がり	M	フルトニウム富化度変化に対する妥当性確認			

注1 集合体内ボイド率の均一分布の仮定の妥当性は、AETNAの妥当性確認(ガンマスキャン等)を通して実施される。

本資料のうち、枠囲みの内容は機密に係る事項のため公開できません。

注1

3. 妥当性確認

AETNA（核的現象）妥当性確認の物理現象に対する網羅性確認

- AETNA（核的現象）のモデル性能評価表による物理現象に対する妥当性確認の網羅性確認結果を以下に示す。

(物理現象) *(はLANCR PIRTにあるもの)		重要度ランク	モデル性能比較表												
			核計算						熱水力計算			その他			モデル性能評価表
中性子束計算 (定常) [3.2.1]	H														連続エネルギー・カルロ計算等による妥当性確認
中性子束計算 (過度) [3.2.9]	H														連続エネルギー・カルロ計算等による妥当性確認
高次モード計算 [3.2.10]	H														連続エネルギー・カルロ計算等による妥当性確認
燃料棒燃焼度再構築 [3.2.2]	M														連続エネルギー・カルロ計算等による妥当性確認
燃料棒燃焼度再構築 [3.2.3]	M														連続エネルギー・カルロ計算等による妥当性確認
断面構造モデル [3.2.3]	M														連続エネルギー・カルロ計算等による妥当性確認
燃焼履歴モデル [3.2.4]	M														連続エネルギー・カルロ計算等による妥当性確認
シロ燃焼モデル [3.2.4.5～3.2.4.9]	M														連続エネルギー・カルロ計算等による妥当性確認
反射体モデル [3.2.3.2]	M														連続エネルギー・カルロ計算等による妥当性確認
エネルギー計算 [3.2.5.4]	M														連続エネルギー・カルロ計算等による妥当性確認
サブホール燃焼モデル [3.2.5.8.2]	M														連続エネルギー・カルロ計算等による妥当性確認
ボイド相関式 [3.2.5.8.1]	M														連続エネルギー・カルロ計算等による妥当性確認
ハイバス熱伝達 [3.2.5.5]	M														連続エネルギー・カルロ計算等による妥当性確認
圧力損失 [3.2.5.3]	M														連続エネルギー・カルロ計算等による妥当性確認
チャンネル流量配分 [3.2.5.6]	M														連続エネルギー・カルロ計算等による妥当性確認
バイパスモデル [3.2.5.1]	M														連続エネルギー・カルロ計算等による妥当性確認
熱的余裕計算 [3.2.6]	M														連続エネルギー・カルロ計算等による妥当性確認
沸騰遷移相関式 [3.2.6.1]	M														連続エネルギー・カルロ計算等による妥当性確認
格子装応答 [3.2.7]	M														連続エネルギー・カルロ計算等による妥当性確認
学習モデル (プロセス・音機器編)	M														連続エネルギー・カルロ計算等による妥当性確認
冷温時臨界固有値 (制御棒価値)	M														連続エネルギー・カルロ計算等による妥当性確認
出力運転時臨界固有値	M														連続エネルギー・カルロ計算等による妥当性確認
出力分布 (TIPと比較)	M														連続エネルギー・カルロ計算等による妥当性確認
出力分布 (yスカラ)	M														連続エネルギー・カルロ計算等による妥当性確認
燃料棒出力分布 (yスカラ)	M														連続エネルギー・カルロ計算等による妥当性確認
瞬時後試験	M														連続エネルギー・カルロ計算等による妥当性確認
MOX燃焼炉心	M														連続エネルギー・カルロ計算等による妥当性確認
長期停止運転	M														連続エネルギー・カルロ計算等による妥当性確認
部分出力運転	M														連続エネルギー・カルロ計算等による妥当性確認
ボイド率測定 (ボイド率比較)	M														連続エネルギー・カルロ計算等による妥当性確認
チャージリユースモード分布	M														連続エネルギー・カルロ計算等による妥当性確認
安定性試験高次モード分布	M														連続エネルギー・カルロ計算等による妥当性確認
均質円筒炉心高次モード分布	M														連続エネルギー・カルロ計算等による妥当性確認
局所出力 (初装荷多濃縮部取扱い)	M														連続エネルギー・カルロ計算等による妥当性確認
局所出力 (MOX燃料部取扱い)	M														連続エネルギー・カルロ計算等による妥当性確認
局所出力 (10x10燃料平野取扱い)	M														連続エネルギー・カルロ計算等による妥当性確認
燃焼履歴問題	M														連続エネルギー・カルロ計算等による妥当性確認
全炉心体系ヒートカルロ	M														連続エネルギー・カルロ計算等による妥当性確認
チャージリユース能力	M														連続エネルギー・カルロ計算等による妥当性確認

① (SPERT実験) では、炉心出力の時間依存応答のみ確認している。

② (SPERT実験) では、時間依存の投入反応度について実験値と比較している。

本資料のうち、枠囲みの内容は機密に係る事項のため公開できません。

3. 妥当性確認

AETNA(熱的・水力的、材料現象)妥当性確認の物理現象に対する網羅性確認

➤ AETNA (熱的・水力的、材料現象) のモデル性能評価表による物理現象に対する妥当性確認の網羅性確認結果を以下に示す。

		重要度ランクイン				モデル性能比較表				モデル性能評価表			
		“-”:関連ない、 “○”:関連する、 “N/A”:モデル無				核計算				热水力計算			
		核計算		热水力計算		その他		プラント運転実績による妥当性確認		試験による妥当性確認		連続エネルギー計算等による妥当性確認	
(物理現象) *はLANCR PIRTにあるもの		中性子束計算(定常) [3.2.1]	中性子束計算(過渡) [3.2.9]	高次モード計算 [3.2.10]	燃料棒出力再構築 [3.2.2]	断面積七モデル [3.2.3]	燃焼箇所モデル [3.2.4]	ミクロ燃焼モデル [3.2.4.5～3.2.4.9]	燃料温度モデル [3.2.3.3.2]	反射体モデル [3.2.3.2]	エネルギー計算 [3.2.5.4]	サブカルボン酸濃度モデル [3.2.5.8.2]	ボド相関式 [3.2.5.8.1]
空間分布	3次元ボイド分布	H	M	M	M	M	M	M	M	M	M	M	M
	集合体内ボイド分布 *	M	M	M	M	M	M	M	M	M	M	M	M
	バイパスボイド分布	M	M	M	M	M	M	M	M	M	M	M	M
	サブクールボイド	M	M	M	M	M	M	M	M	M	M	M	M
構成体起因	チャンネル圧損	M	M	M	M	M	M	M	M	M	M	M	M
	クラッド付着	M	M	M	M	M	M	M	M	M	M	M	M
	チャンネル流量	M	M	M	M	M	M	M	M	M	M	M	M
	バイパス流量（入力値）	M	M	M	M	M	M	M	M	M	M	M	M
	水ロッド流量（入力値）	M	M	M	M	M	M	M	M	M	M	M	M
	水ロッド形状	M	M	M	M	M	M	M	M	M	M	M	M
	スペーサ効果	M	M	M	M	M	M	M	M	M	M	M	M
熱的・水力的現象	減速材直接発熱（入力値）	M	M	M	M	M	M	M	M	M	M	M	M
	構造材直接発熱（入力値）	M	M	M	M	M	M	M	M	M	M	M	M
	炉心熱出力（入力値）	H	H	H	H	H	H	H	H	H	H	H	H
	炉心流量（入力値）	H	H	H	H	H	H	H	H	H	H	H	H
	沸騰遷移	H	H	H	H	H	H	H	H	H	H	H	H
材料・熱機械	燃料平均温度（入力値）	M	M	M	M	M	M	M	M	M	M	M	M
	チャンネル曲り・バルジ	M	M	M	M	M	M	M	M	M	M	M	M

①集合体内の均一ボイド分布の仮定は、“出力分布(TIPとの比較)/スキャン”および燃料棒出力(γスキャン)”で間接的に確認される。

②チャンネル流量は、“チャンネル圧損試験”及び“チャンネル流量配分の妥当性確認”で間接的に確認される。

本資料のうち、枠囲みの内容は機密に係る事項のため公開できません。

3. 妥当性確認

妥当性確認において実施した試験

- 妥当性確認で実施した試験を総合効果試験と個別効果試験の区分とともに以下に示す。

妥当性確認		関連する物理現象	運転状態	確認項目
総合効果試験 (AETNA)	通常炉心	冷温臨界固有値	通常運転	冷温停止 実効増倍率 制御棒価値
		出力運転時臨界固有値		実効増倍率
		出力分布(TIPとの比較)		ノード出力
		出力分布(γ スキャンとの比較)		
		燃料棒出力分布(γ スキャンとの比較)		局所出力
		照射後試験(測定燃焼度と計算燃焼度の比較)		ペレット燃焼度
		安定性試験高次モード分布との比較		振動時LPRM出力
	特殊炉心	MOX燃料装荷炉心	通常運転	冷温停止 実効増倍率 制御棒価値
		長期停止運転		実効増倍率 ノード出力
		部分出力運転		通常運転 実効増倍率
		SPERT実験との比較		冷温停止 ノード出力 炉心流量
				通常運転 ノード出力 熱出力 投入反応度

3. 妥当性確認

妥当性確認において実施した試験

▶ 妥当性確認で実施した試験を総合効果試験と個別効果試験の区分とともに以下に示す。

妥当性確認		関連する物理現象		運転状態	確認項目
熱水力 (AETNA)	試験	ボイド率測定			ボイド率
	詳細解析	チャンネル圧損試験			圧力損失 (単相・二相)
		チャンネル流量配分			チャンネル流量
個別効果試験	核計算(AETNA)	均質円筒炉心高次モード問題		通常運転	通常運転
		局所出力ベンチマーク問題			未臨界度
		燃焼履歴問題-炉停止問題			局所出力
		燃焼履歴問題-制御棒履歴問題			実効増倍率
		全炉心体系(高温運転時)			実効増倍率
		全炉心体系(ボイド変化)			局所出力
		全炉心体系(制御棒挿入)			実効増倍率
		全炉心体系(SLC作動模擬)			ボイド反応度
		Babcock&Wilcox臨界試験			制御棒価値
		NCA臨界試験			SLC
		BASALA臨界試験			実効増倍率
		Hellstrandらの実効共鳴積分			冷温停止
		MISTRAL試験			実効増倍率
		福島第二原子力発電所2号炉及び Dodewaard炉の照射後試験			/通常運転
核定数 (LANCR)	モンテカルロ計算	未燃焼集合体【ベース条件】			出力分布
		U濃縮度変化			実効増倍率
		Pu含有率変化			ボイド反応度
		ガドリニア価値			制御棒価値
		減速材ボイド係数			通常運転
		ほう素価値			実効共鳴積分
		制御棒価値			冷温停止
		等温温度係数			遅発中性子割合
		ドップラ係数			通常運転
		燃焼計算(モンテカルロ)			同位体重量
		ガンマ	ガンマ発熱量		冷温停止
					/通常運転
					/SLC
					無限増倍率

3. 妥当性確認

妥当性確認の充足性（総合効果試験での整理）

- 総合効果試験は、以下に示すように十分な試験数が確保されており、充足性を満たしていると判断できる。これにより、ほとんどの重要な物理現象の模擬性が確認できる。

✓ 冷温臨界固有値

国内BWR9プラント（C/D/S/N格子）の合計110燃焼度点の冷温臨界試験（局所およびインシーケンスを含む）を追跡しており、また、 8×8 燃料、 9×9 燃料（A型およびB型）が装荷された炉心が含まれている。

✓ 出力運転時臨界固有値

国内BWR 9 プラント（C/D/S/N格子）の38炉・サイクル計2750燃焼度点が含まれており、 8×8 、 9×9 燃料（A型およびB型）の実績データが使用されている。

✓ 出力分布（TIPとの比較）

国内BWR 9 プラント（C/D/S/N格子）の38炉・サイクル計528燃焼度点のTIP測定データが含まれており、 8×8 、 9×9 燃料（A型およびB型）の実績データが含まれる。

3. 妥当性確認

妥当性確認の充足性（個別効果試験による補完）

▶ 試験の結果に対する感度の低さ、出現頻度の低さあるいは測定の困難さ等の理由で、前頁の3つの総合効果試験では確認が困難な物理現象について、以下により充足性を判断した。

① 3次元高次モード分布（定常）

- ・ 安定性試験等で意図的に発生させない限り高次モードが励起される頻度は低く、前項の総合効果試験での妥当性確認は困難
- ・ “均質円筒炉心高次モード問題”において基本モードから9次モードまでの固有値と周方向1次モードの出力分布について解析解との比較、および実機安定性試験時のLPRM信号との比較により確認

② 局所出力分布

- ・ 出力分布（TIPとの比較）では、局所出力分布を測定できないため、前項の総合効果試験での妥当性確認は困難
- ・ 下記二つの結果が定量的にも整合しており、これらの結果から充足されていると判断
 - “燃料棒出力分布（ガンマスキャンとの比較）”で2体の燃料集合体に対して様々な断面平均ボイド率において確認
 - 代表的なボイド率条件での複数の燃料集合体タイプに対して“局所出力ベンチマーク問題”を実施

③ 局所燃焼度分布

- ・ 照射後試験（ペレット燃焼度の測定）の実施が必要で、前項の総合効果試験での妥当性確認は困難
- ・ 局所出力の積算値であるため、上記の“局所出力分布”が確認されれば良好な結果になることが類推
総合効果試験の“照射後試験”により7つの照射済み試料に対して測定燃焼度との比較による妥当性確認を実施

④ ほう酸価値

- ・ 通常運転時にSLC作動状態となることは無いため、前項の総合効果試験での妥当性確認は困難
- ・ 様々な格子条件・燃料設計に対して連続エネルギーモンテカルロを参照解とする準妥当性確認を実施

⑤ バイパスボイド分布

- ・ バイパス領域にボイドができる頻度は極めて低く、TIP測定への感度も低いため前項の総合効果試験で充足性を満たすことは困難
- ・ ボイド率を計算するためのモデルはインチャンネルと同じであり、充足性を満たすべき総合効果試験を通してボイド率評価モデルの妥当性が確認されている

⑥ チャンネル圧損

- ・ TIP測定値に影響を及ぼす感度が低く、前項の総合効果試験での妥当性確認は困難
- ・ 8×8 燃料及び 9×9 燃料（A型）に対する“チャンネル圧損試験”で幅広い圧力・流量条件に対して確認

⑦ チャンネル流量

- ・ 上記同様であり、“チャンネル圧損試験”に対する妥当性が確認されていることから間接的に妥当性が確認済であると判断
(流量配分モデルは、別途、詳細コードとの比較で実施)

3. 妥当性確認

炉型・格子タイプ・燃料タイプに対する網羅性

- 多くの物理現象が寄与する主要な3つの総合効果試験（冷温臨界固有値、出力運転時臨界固有値、出力分布（TIPとの比較））で評価された炉心により、妥当性確認が炉型・格子タイプ・燃料タイプについて網羅されていることを以下の表に示す。

充足性を満たす3つの総合効果試験で評価された炉心条件

炉型	サイズ (万kW級)	格子	プラント	装荷燃料	評価サイクル数
BWR小型炉	50	D	A (BWR3)		4
		S	B (BWR5)		4
BWR中型炉	80	D	C (BWR4)		4
		S	D (BWR5)		5
BWR大型炉	110	C	E (BWR5)		4
			F (BWR5)		5
		S	G (BWR5)		4
			H (BWR5)		4
ABWR	135	N	I (ABWR)		4

上記に加え、格子タイプ・燃料タイプに対しては、LANCRのモンテカルロ計算との比較（個別効果試験）でも網羅されている。

3. 妥当性確認

運転状態に対する網羅性

- LANCR/AETNAの妥当性確認による確認項目が運転状態に対し網羅されていること（各運転状態において確認すべき項目が含まれていること）を以下に示す。

LANCRについての運転状態に対する妥当性確認項目

確認項目	運転状態		
	通常運転	冷温停止	SLC
	無限増倍率・実効増倍率 局所出力分布 ガドリニア価値 ボイド反応度 ドップラ反応度 制御棒価値 減速材温度係数 同位体重量	無限増倍率・実効増倍率 局所出力分布 ガドリニア価値 ドップラ反応度 制御棒価値 減速材温度係数 遅発中性子割合	無限増倍率・実効増倍率 ほう素価値

AETNAについての運転状態に対する妥当性確認項目

確認項目	運転状態		
	通常運転	冷温停止	SLC
	余剰反応度 反応度係数 MLHGR/MCPR 設計出力履歴 高次モード未臨界度	停止余裕 最大制御棒価値	ほう酸注入系停止機能

3. 妥当性確認

LANCRの適用範囲に対する網羅性

- LANCRの適用範囲と妥当性確認範囲との対応の確認結果を以下に示す。

LANCRの適用範囲と妥当性確認範囲

	適用範囲	妥当性確認範囲と内訳		
		右記の合計確認範囲	試験データによる妥当性確認	連続エネルギーモンテカルロ計算による妥当性確認
燃料棒配列	1×1～10×10	1×1～10×10	1×1, 8×8, 9×9	8×8～10×10
²³⁵ U濃縮度	0.2～6 wt%	0.2～6 wt%	0.2～4.9 wt%	0.2～6 wt%
Gd ₂ O ₃ 含有量	0～15 wt%	0～15 wt%	0～5 wt%	0～15 wt%
プルトニウム含有率	0～15.5 wt%	0～15.5 wt%	0～8.7 wt%	0～15.5 wt%
核分裂性 プルトニウム富化度	0～10.4 wt%	0～10.4 wt%	0～□ wt%	0～10.4 wt%
燃料棒の温度	10～2300 °C	10～2300 °C	10～80 °C	20～2300 °C
減速材ボイド率	0～100 %	0～100 %	0% (40%模擬あり)	0～100 %
減速材温度※1	10～286 °C	10～286 °C	10～80 °C	20～286 °C
減速材中のほう素濃度	0～2230 ppm	0～2230 ppm	0～2230 ppm	0～1700 ppm
燃焼度 (燃料集合体平均)	0～80 GWd/t	0～80 GWd/t	0 GWd/t※ 2	0～80 GWd/t
制御棒吸収材	B ₄ C, ハフニウム			

※ 1 温度はLANCR計算時の定格圧力における飽和温度としている。

※ 2 ここでは燃料集合体平均燃焼度を示しているため、臨界試験では全て0GWd/tであるが、照射後試験では、約17～59GWd/tのペレット燃焼度を測定している。

3. 妥当性確認

AETNAの適用範囲に対する網羅性

- AETNAの適用範囲と妥当性確認範囲との対応の確認結果を以下に示す。

AETNAの適用範囲と妥当性確認範囲

	適用範囲	妥当性確認範囲と内訳			
		右記の合計確認範囲	プラント運転実績による妥当性確認	試験データによる妥当性確認	連続エネルギーモンテカルロ計算等による妥当性確認
燃料棒配列	7×7 ~ 10×10	4×4 ~ 10×10	8×8, 9×9, 10×10	8×8, 9×9, 4×4, 5×5	8×8, 9×9, 10×10
炉型	BWR, ABWR	BWR3/4/5/6, ABWR	BWR3/4/5, ABWR	BWR5/6, SPERT III E炉心	BWR, ABWR
燃料	UO ₂ , MOX	UO ₂ , MOX	UO ₂ , MOX	UO ₂	UO ₂ , MOX
減速材温度	低温 ~ 出力運転時	低温 ~ 出力運転時	低温 ~ 出力運転時	出力運転時	出力運転時
炉圧	大気圧~8.6 MPa	大気圧~8.6 MPa	大気圧~7.3 MPa	0.2~8.6※ MPa	-
吸收材	制御棒 (B ₄ C, ハフニウム), ほう酸水(SLC)	制御棒 (B ₄ C, ハフニウム), ほう酸水(SLC)	制御棒 (B ₄ C, ハフニウム)	制御棒(B ₄ C)	制御棒(B ₄ C), ほう酸水(SLC)

※ 8.6 MPaは熱水力試験における高圧時の条件。なお、LANCRで計算した核定数をAETNAにて参照する際は、相対水密度を用いて内外挿するため、定格圧力よりも高圧の状態であってもAETNAは適用可能である。

4. 妥当性確認結果

LANCRの妥当性確認結果 ①信頼性確認結果

➤ 信頼性確認として実施したLANCRの妥当性確認の結果を以下に示す。

	試験（〔 〕内は詳細記載箇所）	確認結果
試験による妥当性確認	Babcock & Wilcox臨界試験 [添付資料8 2.1.3.1]	U炉心, MOX炉心に対して実効増倍率は判断の目安を達成した。
	NCA臨界試験 [添付資料8 2.1.3.2]	BWR燃料を模擬した臨界試験に対し, 実効増倍率・局所出力分布は判断の目安を達成した。
	BASALA臨界試験 [4.2.3.1]	BWR燃料を模擬した臨界試験に対し, 実効増倍率・局所出力分布・各種反応度は判断の目安を達成した。
	Hellstrandらの実効共鳴積分の実験式 [4.2.3.1]	実効共鳴積分の計算値は判断の目安以内で実験式を模擬していた。
	MISTRAL臨界試験 [4.2.3.3]	U炉心, MOX炉心の実効遅発中性子割合は判断の目安を達成した。
モンテカルロ計算による妥当性確認	福島第二原子力発電所2号炉及びDodewaard炉の照射後試験 [添付資料8 2.1.3.6]	U燃料, MOX燃料について, 核種ごと重量割合は測定結果の重量割合に対する模擬性を有することを確認した。
	未燃焼組成燃料集合体（ベース） [添付資料8 2.1.4.1]	実効増倍率について, 条件などに依存する特異な傾向は認められなかった。
	ウラン濃縮度の変化 [添付資料8 2.1.4.2.1]	ウラン濃縮度依存性について, 条件などに依存する特異な傾向は認められなかった。
	プルトニウム含有率の変化 [添付資料8 2.1.4.2.2]	プルトニウム含有率依存性について, 条件などに依存する特異な傾向は認められなかった。
	ガドリニア価値 [添付資料8 2.1.4.3.1]	ガドリニア価値について, 条件などに依存する特異な傾向は認められなかった。
	減速材ボイド係数 [添付資料8 2.1.4.3.2]	減速材ボイド係数について, 条件などに依存する特異な傾向は認められなかった。
	ほう素価値 [添付資料8 2.1.4.3.3]	ほう素価値について, 条件などに依存する特異な傾向は認められなかった。
	制御棒価値 [添付資料8 2.1.4.3.4]	制御棒価値について, 条件などに依存する特異な傾向は認められなかった。
	等温温度係数 [添付資料8 2.1.4.3.5]	等温温度係数について, 条件などに依存する特異な傾向は認められなかった。
	ドップラ係数 [添付資料8 2.1.4.3.6]	ドップラ係数について, 条件に依存する特異な傾向は認められなかった。
モンテカルロ燃焼計算	モンテカルロ燃焼計算 [添付資料8 2.1.4.4]	燃焼時の無限増倍率について, 特異な傾向は認められなかった。
	ガンマ発熱量 [添付資料8 2.1.4.5]	複数の燃焼条件におけるガンマ発熱量について, 参照解に対し特異な傾向無く模擬できている。

“目安”はベンチマークにおけるコード間ばらつきや測定の不確かさの 2σ など。詳細は、コード説明書4.2.2の表4.2-1に示す。

上記の他に検証のための試験を行っており、コード説明書には信頼性確認の参考として一部の結果を記載している。

4. 妥当性確認結果

LANCRの妥当性確認結果 ②不確かさ把握結果

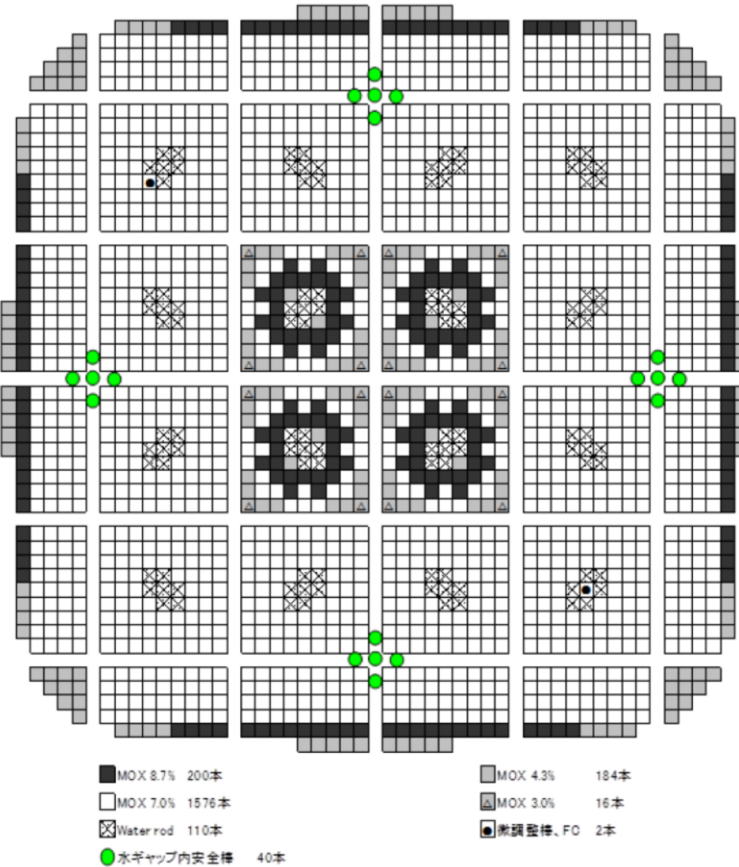
- 不確かさの把握として実施したLANCRの妥当性確認の結果、不確かさ評価方法および測定の不確かさの扱いを以下に示す。

評価指標	妥当性確認結果 ([] 内は詳細記載箇所)	不確かさ評価方法および測定の不確かさの扱い
ボイド反応度	BASALA試験とは測定の不確かさの範囲とほぼ等しい <input type="text"/> %の不確かさ [4.2.3.1.2] で一致した。	測定値との相対差で評価。 適用性判断では反応度係数の不確かさは積算に対して保守的に設定しており、測定の不確かさはこれに含まれる。
ドップラ反応度	<input type="text"/> %の不確かさを持つHellstrandらの実験式の結果に対し、実験式の持つ不確かさの範囲内でおそ一致 [4.2.3.2] した。	実験式と計算値の差に対し、実験式の不確かさが大きいため、実験式の不確かさをドップラ反応度の不確かさとした。 実験式との比較であるため、測定の不確かさは考慮する必要はない。
ほう素価値	試験データとは測定の不確かさの範囲内で一致し [4.2.3.1.3]、燃焼度依存の95%信頼度-95%確率値の最大値は <input type="text"/> %Δk [添付資料6] であることを確認した。	参照コード (MCNP5_DBRC) とLANCRにおけるほう素価値評価結果の相対差の95%信頼度-95%確率値で算出。 参照コードの不確かさ評価分も考慮しており、その中で測定の不確かさも含まれる。
遅発中性子割合	試験データとの比較を実施し、測定の不確かさの <input type="text"/> 以内、従来コードと同等の <input type="text"/> %未満の相対差で実験値を再現すること [4.2.3.3] を確認した。	測定値と計算値の不確かさの相対差の平均値が、左記の従来許認可コードの不確かさを下回ることを確認し、従来コードの不確かさを踏襲。 適用性判断では反応度係数の不確かさは積算に対して保守的に設定しており、測定の不確かさはこれに含まれる。

4. 妥当性確認結果

LANCRの妥当性確認の実施例 BASALA臨界試験（ボイド反応度）

- LANCRの妥当性確認の実施例として、BASALA臨界試験（試験体系と試験条件）におけるボイド反応度の測定値と計算値の比較による妥当性確認結果を以下に示す。



BASALA 臨界試験条件と島根 3 号炉の比較

試験 パラメータ	BASALA (フランス)	島根 3 号炉 (参考)
燃料	MOX燃料集合体	ウラン燃料集合体
試験領域U-235濃縮度又はプルトニウム含有率(wt%)	3.0~8.7 (Puf : <input type="text"/>)	初装荷 1.5~4.1 取替 3.8
減速材温度 (°C)	約20 炉心 1 : 40%ボイド 模擬 炉心 2 : 冷温模擬	停止余裕評価 20 高温運転時 平均約40%ボイド
H/HM (原子数密度)	炉心 1 : 約5 炉心 2 : 約9	40%ボイド : 約5 冷温 : 約9
燃料棒又は燃料集合体ピッチ (cm)	燃料棒 炉心 1 : 1.13 炉心 2 : 1.35 燃料集合体 炉心 1 : 約11.4 炉心 2 : 約13.6	燃料棒 約1.4 燃料集合体 約15

ボイド反応度の実験値と測定値の比較による不確かさは % であった。
(測定の不確かさは約 %)

4. 妥当性確認結果

AETNAの妥当性確認結果 ①信頼性確認結果

▶ 信頼性確認として実施したAETNAの妥当性確認の結果を以下に示す。

	試験（〔 〕内は詳細記載箇所）	確認結果
連続エネルギーモニタカルロ計算による妥当性確認	均質円筒炉心高次モード問題〔添付資料8〕	モード間固有値間隔のモード依存性と、周方向一次モードの径方向分布について、解析解に対する模擬性を確認した。
	局所出力 初装荷多種類燃料炉心問題〔添付資料8〕	初装荷多濃縮度燃料隣接配置、U/MOX燃料隣接配置、10X10燃料平衡炉心模擬配置の各種条件下で、参照解の燃料棒出力分布の傾向を模擬できることを確認した。
	MOX燃料部分装荷炉心問題〔添付資料8〕	
	10×10燃料装荷炉心問題〔添付資料8〕	
	燃焼履歴 炉停止問題〔添付資料8〕	様々な燃焼条件で、長期停止後の実効増倍率の推移傾向について、参照解を模擬できることを確認した。
	制御棒履歴問題〔添付資料8〕	制御棒履歴効果の影響下において、実効増倍率および最大局所出力について、参照解の燃焼推移傾向を模擬できることを確認した。
	全炉心体系〔添付資料8〕	初装荷多濃縮炉心における制御棒価値、ボイド反応度、SLC作動模擬時の反応度価値について、ウラン・MOXの装荷割合に対し特異な傾向が無く参照解を模擬できることを確認した。
	チャンネル流量配分〔添付資料8〕	定格出力時・部分出力時においてチャンネルの流量配分が参照解を模擬できることを確認した。
	冷温時臨界固有値（制御棒価値含む）〔4.3.4.1〕	冷温実効増倍率および制御棒価値について、炉型・格子タイプに対し特異な傾向を示すことなく実機傾向を模擬できることを確認した。
	出力運転時臨界固有値〔添付資料8〕	実機追跡計算結果の出力運転時実効増倍率について、炉型・格子タイプに対し特異な傾向が無いことを確認した。
プラント運転実績による妥当性確認	出力分布（TIPとの比較）〔4.3.4.2〕	炉型・格子タイプに対し特異な傾向を示すことなく実機の3次元出力分布の傾向を模擬できることを確認した。
	出力分布（ガンマスキャンとの比較）〔4.3.4.3〕	炉型・格子タイプに対し特異な傾向を示すことなく実機の3次元出力分布の傾向を模擬できることを確認した。
	燃料棒出力分布（ガンマスキャンとの比較）〔4.3.4.4〕	集合体内的ボイド率などに依存することなく実機の3次元燃料棒出力分布を模擬できることを確認した。
	照射後試験の測定燃焼度と計算燃焼度との比較〔4.3.4.5〕	集合体内的測定位置やペレット種類に対して特異な傾向無く測定燃焼度を模擬できることを確認した。
	MOX燃料装荷炉心〔添付資料8〕	ウラン炉心と同程度の予測性能を有することを確認した。
	長期停止運転〔添付資料8〕	通常運転時と同程度の予測性能を有することを確認した。
	部分出力運転〔添付資料8〕	定格出力時と同程度の予測性能を有することを確認した。
	ボイド率測定〔添付資料8〕	出口平均ボイド率の圧力・流量依存性について測定結果の傾向を模擬できることを確認した。
試験による妥当性確認	チャンネル圧損試験〔添付資料8〕	集合体圧力損失の圧力・流量依存性について測定結果の傾向を模擬できることを確認した。
	SPERT実験との比較〔添付資料8〕	出力・反応度の時間依存について測定結果の傾向を模擬できることを確認した。
	安定性試験高次モード分布との比較〔添付資料8〕	周方向一次モードの径方向分布について、測定結果を模擬できることを確認した。

“目安”についての詳細は、コード説明書4.3.3の表4.3-11に示す。

上記の他に検証のための試験を行っており、コード説明書には信頼性確認の参考として一部の結果を記載している。

4. 妥当性確認結果

AETNAの妥当性確認結果 ②不確かさ把握結果

- 不確かさの把握として実施したAETNAの妥当性確認の結果、不確かさ評価方法および測定の不確かさの扱いを以下に示す。

評価指標	妥当性確認結果（〔 〕内は詳細記載箇所）	不確かさ評価方法および測定の不確かさの扱い
炉停止余裕	炉停止余裕の妥当性確認のため、冷温時臨界固有値を確認した。ウラン燃料装荷炉心における実績臨界固有値の95%信頼度-95%確率値で [] % Δk [添付資料 6] であり、MOX装荷炉心に対しても不確かさの拡大は認められない。[添付資料 8]	冷温臨界固有値評価値のプラントごとの全データ平均値からの個々のデータのばらつきについて95%信頼度-95%確率値を評価。 測定点数が十分に大きく、かつ測定系は十分に校正されたのちのランダムな誤差と考えられることから、測定の不確かさは測定値と解析値の比較結果に含まれる。
最大制御棒価値	MOX燃料装荷炉心を含む110万kW級BWR及び80万kW級BWRの2プラント8ケースの冷温時制御棒価値測定結果に対し、計算値と測定値の差は平均 [] $\Delta k/k'k$ 、標準偏差は [] $\Delta k/k'k$ 、相対差の平均は [] %、標準偏差は [] %である。[4.3.4.1]	制御棒価値の計算値と測定値の相対差の標準偏差。 適用性判断の不確かさの積算において保守的に設定しており、測定の不確かさはこれに含まれる。
熱機械 (MLHGR) 焼損 (MCPR)	ノード出力・局所出力には、核・熱流動の主要な数学的モデルがすべて影響したうえで得られる結果である。 ガンマスキャンと比較した局所出力分布RMS差は約 [] % [4.3.4.4] であり、連続エネルギーモンテカルロ計算との比較による燃料集合体内局所出力分布のRMS差 [添付資料 8] と、燃料の製造公差による不確かさと合成された局所出力分布の不確かさと同程度であった。 ウラン燃料装荷炉心(BWR大型取替及びABWR初装荷)におけるガンマスキャン測定値との比較よりノード出力のRMS差は [] %以下であり、[4.3.4.3] MOX装荷炉心に対して不確かさの拡大は認められない。[添付資料 8]	局所出力： 集合体内における局所出力分布の燃料棒ガンマスキャン結果として得られた測定値と計算値についてRMSを評価。 ノード出力： 炉内3次元ノード相対出力分布の集合体ガンマスキャン結果として得られた測定値と計算値についてRMSを評価。 測定の不確かさ（局所出力およびノード出力）： 測定点数が十分に大きく、かつ測定系は十分に校正されたのちのランダムな誤差と考えられることから、測定の不確かさは測定値と解析値の比較結果の中に含まれる。
設計出力履歴 (燃焼度)	照射後試験による測定ペレット燃焼度と計算値のRMS差は [] %であった。[4.3.4.5]	試料ごと（照射後燃料）のペレット燃焼度の測定値と計算値のRMSを評価。 測定の不確かさは減速材ボイド係数の保守因子への影響は十分に小さい。（参照P.31）

4. 妥当性確認結果

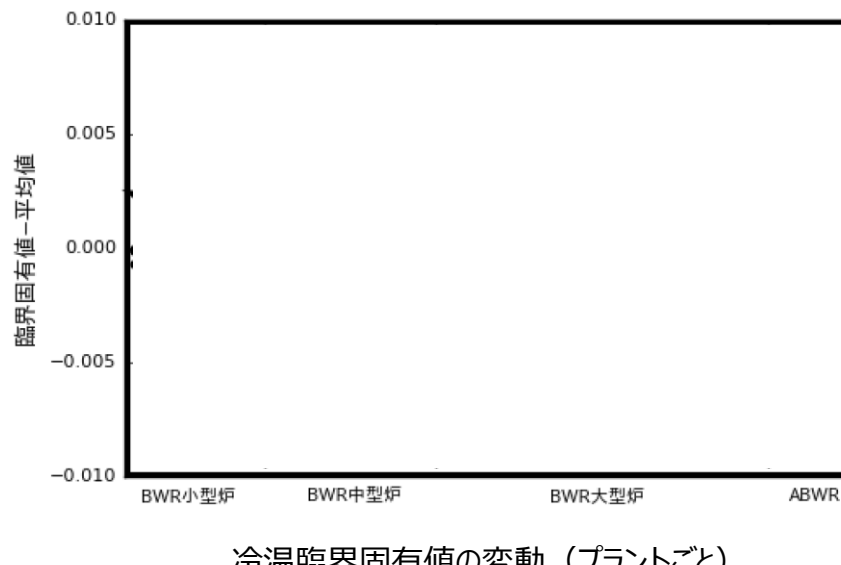
AETNAの妥当性確認の実施例 冷温臨界固有値

- AETNAの妥当性確認の実施例として、冷温臨界固有値の妥当性確認結果を以下に示す。

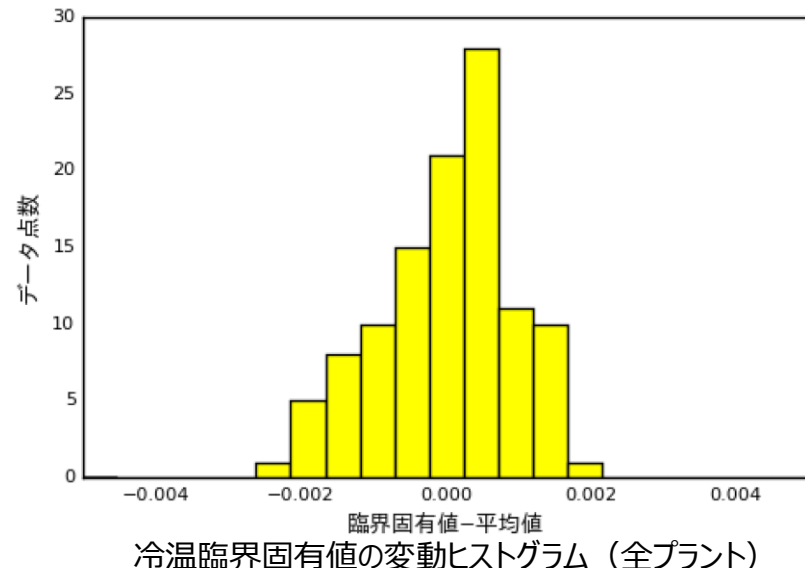
冷温臨界固有値 評価実施炉心

右表に示すBWR各炉型・格子・8X8および9X9燃料装荷炉心について、各サイクルの実機冷温臨界試験の追跡計算を行い、臨界固有値のばらつきについて評価した。

プラントごとの偏差について、まとめた結果を左下図に、全プラント、全サイクルに対する臨界固有値の変動成分のヒストグラムを右下図に示す。各試験における臨界固有値と平均値との標準偏差は [] Δk 、これは95%信頼度 - 95%確率値では [] % Δk である。



炉型	サイズ (万kW級)	格子	プラント	評価 サイクル数
BWR小型炉	50	D	A (BWR3)	4
		S	B (BWR5)	4
BWR中型炉	80	D	C (BWR4)	4
		S	D (BWR5)	5
BWR大型炉	110	C	E (BWR5)	4
			F (BWR5)	5
		S	G (BWR5)	4
			H (BWR5)	4
ABWR	135	N	I (ABWR)	4



5. 許認可解析への適用性確認

注目すべき応答変量と要求すべき予測性能の指定

- ▶ 安全解析で重要な裕度設定と関連するもの（反応度係数の保守因子，制御棒落下解析での保守因子），許認可静特性解析において重要で明示的な裕度設定を行っているもの（SLMCPR, SLC）について注目すべき応答変量と要求すべき予測性能を以下に示す。

注目すべき応答変量と要求すべき予測性能

項目	不確かさの考慮方法	設計裕度で考慮する不確かさと要求すべき予測性能			備考
		注目すべき応答変量 ((L)はLANCRを, (A)はAETNAを表す。)	LANCR/AETNA以外の不確かさ	左記積算に対する要求すべき予測性能	
反応度係数の保守因子	不確かさ成分の積算値	減速材ボイド係数(L), $\beta_{eff}(L)$, ノード出力(A), ノード燃焼度(A)	・炉心一点近似モデル由来の不確かさ ・取替炉心段階に生じる不確かさ	25 %	許認可解析における包括解析で考慮
制御棒価値の保守因子	不確かさ成分の積算値	ドップラ係数(L), $\beta_{eff}(L)$, 制御棒価値(A)	・空間縮約由来の不確かさ ・取替炉心段階に生じる不確かさ	0.3 % Δk	許認可解析における包括解析で考慮
SLMCPR	統計解析 (各不確かさ成分を独立に扱う)	ノード出力(A)	—	5.2 %	許認可解析における包括解析で考慮
		局所出力(A)	—	3.0 %	許認可解析における包括解析で考慮
SLC	不確かさ成分の積算値	ほう素価値(L), 冷温臨界固有値(A)	参照コードの不確かさ	1.5 % Δk	取替炉心段階で個別炉心に対して考慮

なお、原子炉設置変更許可申請書添付書類八において解析例として示す平衡炉心の成立性を考慮するとMLHGR, MCPR, 炉停止余裕の3つが注目すべき応答変量の候補として挙げられる。

MLHGR及びMCPRはノード出力及び局所出力が関係するが、これらはSLMCPRの観点で確認している。

停止余裕については、原子炉設置変更許可申請書で設定している裕度に対し、LANCR/AETNAの冷温時実効増倍率の不確かさが十分に小さく、許認可適用性判断への影響は少ない。

5. 許認可解析への適用性確認

適用性確認結果（要求すべき予測性能に対する達成状況）

- 妥当性確認の結果得られた注目すべき応答変量の不確かさの積算結果と、要求すべき予測性能の比較結果を以下に示す。LANCR/AETNAはすべての要求すべき予測性能を満足しており、島根3号炉許認可静特性解析に適用性があると判断できる。

注目すべき応答変量やその他の不確かさと要求すべき予測性能の比較結果

項目	L/A使用時の不確かさ			要求すべき 予測性能	備考
	注目すべき応答変量 ((L)はLANCRを、 (A)はAETNAを表す。)	LANCR/AETNA以外の 不確かさ	左記合計値		
反応度係数の 保守因子	減速材ボイド係数(L), $\beta_{eff}(L)$, ノード出力(A), ノード燃焼度(A)	・炉心一点近似モデル由来の不確かさ ・取替炉心段階に生じる不確かさ		25 %	[添付資料 4]
制御棒価値の 保守因子	ドップラ係数(L), $\beta_{eff}(L)$, 制御棒価値(A)	・空間縮約由来の不確かさ ・取替炉心段階に生じる不確かさ		0.3 % Δk	[添付資料 5]
SLMCPR	ノード出力(A)	—		5.2 %	—
	局所出力(A)	—		3.0 %	—
SLC	ほう素価値(L), 冷温臨界固有値(A)	参照コードの不確かさ		1.5 % Δk	[添付資料 6]

本資料のうち、枠囲みの内容は機密に係る事項のため公開できません。

5. 許認可解析への適用性確認

適用性確認時の不確かさ積算実施例（反応度係数の保守因子）

- 許認可解析への適用性確認のための不確かさの積算の実施例として、反応度係数（減速材ボイド係数）の保守因子についての実施結果を以下に示す。

解析コード	応答変量もしくはコード以外の不確かさ	不確かさ
LANCR	減速材ボイド係数、実効遅発中性子割合	
AETNA	3次元出力分布、3次元ノード燃焼度	
-	炉心一点近似モデルの不確かさ	
-	取替炉心の詳細設計段階の不確かさ	
不確かさの合計（二乗和平方根）		

注：3次元出力分布と3次元ノード燃焼度の不確かさに起因する減速材ボイド係数の不確かさ。

仮に3次元ノード燃焼度の測定の不確かさを考慮した場合でも、「3次元出力分布、3次元ノード燃焼度」の不確かさは
% 程度となるが、この値とした場合でも不確かさの合計値（上記表に示す二乗和平方根の小数点以下切り上げ値）は
 変わらない。

応答変量を積み上げた結果は % であり、要求すべき予測性能（25%）の範囲内である。

6. まとめ

➤ 妥当性確認の実施内容について説明

- 妥当性確認の実施項目
 - <信頼性確認> 全ての物理現象に対する模擬性の確認
 - <不確かさの把握> 適用性判断のための注目すべき応答変量の不確かさ把握
- 妥当性確認で実施する試験の区分・構成
- 炉型・格子タイプ・燃料タイプに対する網羅性
- 運転条件に対する妥当性確認の網羅性
- 適用範囲に対する妥当性確認の網羅性

➤ 妥当性確認結果について説明

- LANCRの信頼性確認結果、不確かさ把握結果および妥当性確認の実施例（ボイド反応度）
- AETNAの信頼性確認結果、不確かさ把握結果および妥当性確認の実施例（冷温臨界固有値）

➤ 島根 3号炉（ABWR/9x9燃料炉心）許認可静特性解析への適用性について説明

- 注目すべき応答変量と要求すべき予測性能の指定
- 不確かさ積算結果と要求すべき予測性能との比較結果および不確かさ積算の実施例（反応度係数の保守因子）
- 適用性判断の結果に基づくLANCR/AETNAの島根 3号炉許認可静特性解析への適用性

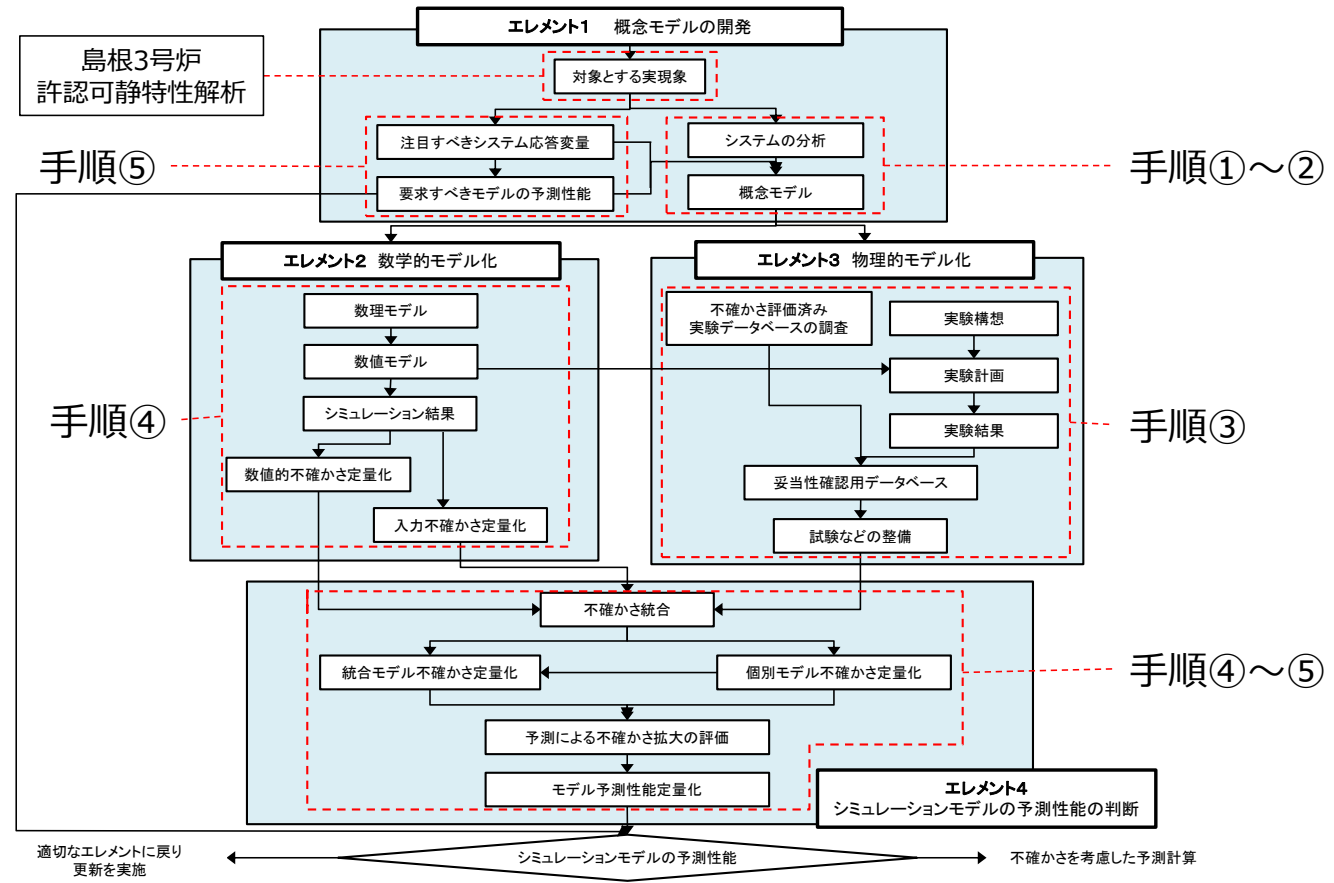
別紙 審査会合における指摘事項（No.4）に対する回答（1/2）

■ 指摘事項（第1076回審査会合 2022年9月29日）

検証及び妥当性確認のプロセスが適切に実施されているかを確認するため、当該プロセスの内容を整理すること。なお、学協会基準等を参照した場合は、参照した基準等を示すこと。

■ 回答

適用性確認の手順①～⑤と、日本原子力学会標準、「シミュレーションの信頼性確保に関するガイドライン：2015」（以下、「M&S標準」という。）の各エレメント対応を以下に示す。エレメントの概要と適用性確認手順の詳細は次ページに示す。



別紙 審査会合における指摘事項（No.4）に対する回答（2/2）

■ 回答（つづき）

M&S標準における各エレメントの概要と適用性確認の手順との対応を下表に示す。

M&S標準の各エレメントと適用性確認手順の対応

エレメント	M&S標準の内容	手順	適用性確認における対応
エレメント1	対象とする実現象を指定する。	手順① 手順②	島根3号炉許認可静特性解析を対象とする。
	数学モデルや物理モデル（実験）を構築するため、シミュレーションを行う対象システムについて分析し、それらを支配する重要な物理プロセスで理想化することで、概念モデルを構築する。		手順①において重要度ランキングテーブル（PIRT）を作成し、手順②におけるモデル性能比較表によって重要現象のモデル化の網羅性を示している。
	対象システムの性能を評価する指標を特定し要求すべき予測性能を指定する。	手順⑤	LANCR/AETNAについて達成すべき予測性能の指標と性能を定めている。要求性能の指標と数値は手順⑤における判断時に示す。
エレメント2	概念モデルを数学的表現に変換し、数値モデルとして計算機に実装しコード検証/解検証によってこれらを検証するとともに、数値的不確かさを定量化する。	手順④	数値モデルの適用範囲に渡る確認状況を手順④で示す。 数理・数値モデルの一部は3章に、検証及び妥当性確認の詳細は4章で示している。手順④では、数学的モデルの不確かさ（数理モデル段階での近似、数値モデルの打切り誤差や離散化誤差など）を示す代わりに物理モデルの不確かさと併せた総括不確かさを妥当性確認を通して評価している。なお、モデル実装/コード検証/解検証はメーカーのQMSにより達成されることを前提としている。
エレメント3	概念モデルに対する不確かさ評価済みの実験データをそろえる。不足する実験について計画を立て実施する。	手順③	手順③におけるモデル性能比較表によって、重要な現象ごとに必要な妥当性確認が網羅されていることを確認する。個々の実験（実機、試験、モンテカルロ計算）の詳細は4章の妥当性確認で示す。
エレメント4	数学モデルに由来する数値的不確かさや入力不確かさと、実験に由来する物理モデルの不確かさを統合する。 実験データの存在しない領域に対する予測の拡大を定量化する。 利用目的に対する合否を判断する。	手順④ 手順⑤	妥当性確認結果から総括不確かさを把握するとともに、手順④における適用範囲に対する妥当性確認範囲の包絡性により、予測による不確かさの拡大がないことを確認する。 手順⑤においてLANCR/AETNAコードが島根3号炉許認可解析を行う上で要求される予測性能を満たすことを確認することにより、その適用性を示す。

別紙 審査会合における指摘事項（No.5）に対する回答（1/5）

■ 指摘事項（第1076回審査会合 2022年9月29日）

- 妥当性確認に採用している試験データ等について、解析結果と比較するにあたって、想定している炉心状態を網羅しているか、信頼性のある試験データかなどを含め、試験データ等の選定の考え方を整理すること。

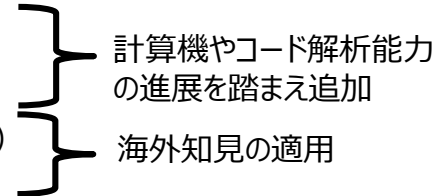
■ 回答（P.10 抜粋）

- 妥当性確認で実施する試験の構成の考え方を以下に示す。

- ✓ 従来の炉心解析コードで採用していた実績のある試験をベースに、物理現象に対する網羅性、総合効果試験と個別効果試験の観点での試験データの充足性や、炉型・格子タイプ・燃料タイプ、運転状態および適用範囲に対する網羅性を確認し、必要な試験を追加。

追加した試験は、論文や信頼できる機関が報告書を発行しており不確かさが悪影響を及ぼさない程度に小さいものを採用。追加した試験を以下に示す。

- ① モンテカルロ計算による妥当性確認（個・L）
- ② モンテカルロ燃焼計算による妥当性確認（個・L）
- ③ 全炉心モンテカルロ計算による妥当性確認（個・A）
- ④ 燃料棒出力妥当性確認（ガンマスキャンとの比較）（総・A）
- ⑤ 安定性試験高次モード分布との比較（総・A）



“個”は個別効果試験、“総”は総合効果試験、“L”はLANCR、“A”はAETNAに該当する妥当性確認が存在することを示す。

上記データを追加した妥当性確認に関して、以下の解析条件に対する網羅性を次ページ以降で詳細を示す。

- ✓ 炉型・格子タイプ・燃料タイプ
- ✓ 運転状態
- ✓ 適用範囲

別紙 審査会合における指摘事項（No.5）に対する回答（2/5）

■ 回答（つづき）（p.19 再掲）

- ▶ 多くの物理現象が寄与する主要な3つの総合効果試験（冷温臨界固有値、出力運転時臨界固有値、出力分布（TIPとの比較））で評価された炉心により、妥当性確認が炉型・格子タイプ・燃料タイプについて網羅されていることを以下の解析条件まとめ表に示す。

充足性を満たす3つの総合効果試験で評価された炉心条件

炉型	サイズ (万kW級)	格子	プラント	装荷燃料	評価サイクル数
BWR小型炉	50	D	A (BWR3)		
		S	B (BWR5)		
BWR中型炉	80	D	C (BWR4)		
		S	D (BWR5)		
BWR大型炉	110	C	E (BWR5)		
			F (BWR5)		
		S	G (BWR5)		
			H (BWR5)		
ABWR	135	N	I (ABWR)		

上記に加え、格子タイプ・燃料タイプに対しては、LANCRのモンテカルロ計算との比較（個別効果試験）でも網羅されている。

別紙 審査会合における指摘事項（No.5）に対する回答（3/5）

■ 回答（つづき）（p.20 再掲）

- LANCR/AETNAの妥当性確認による確認項目が運転状態に対し網羅されていること（各運転状態において確認すべき項目が含まれていること）を以下に示す。

LANCRについての運転状態に対する妥当性確認項目

確認項目	運転状態		
	通常運転	冷温停止	SLC
	無限増倍率・実効増倍率 局所出力分布 ガドリニア価値 ボイド反応度 ドップラ反応度 制御棒価値 減速材温度係数 同位体重量	無限増倍率・実効増倍率 局所出力分布 ガドリニア価値 ドップラ反応度 制御棒価値 減速材温度係数 遅発中性子割合	無限増倍率・実効増倍率 ほう素価値

AETNAについての運転状態に対する妥当性確認項目

確認項目	運転状態		
	通常運転	冷温停止	SLC
	余剰反応度 反応度係数 MLHGR/MCPR 設計出力履歴 高次モード未臨界度	停止余裕 最大制御棒価値	ほう酸注入系停止機能

別紙 審査会合における指摘事項（No.5）に対する回答（4/5）

■ 回答（つづき）（P.21 再掲）

➤ LANCRの適用範囲と妥当性確認範囲との対応の確認結果を以下に示す。

LANCRの適用範囲と妥当性確認範囲

適用範囲	妥当性確認範囲と内訳			
	右記の合計確認範囲	試験データによる妥当性確認	連続エネルギーモンテカルロ計算による妥当性確認	
燃料棒配列	1×1～10×10	1×1～10×10	1×1, 8×8, 9×9	8×8～10×10
²³⁵ U濃縮度	0.2～6 wt%	0.2～6 wt%	0.2～4.9 wt%	0.2～6 wt%
Gd ₂ O ₃ 含有量	0～15 wt%	0～15 wt%	0～5 wt%	0～15 wt%
プルトニウム含有率	0～15.5 wt%	0～15.5 wt%	0～8.7 wt%	0～15.5 wt%
核分裂性 プルトニウム富化度	0～10.4 wt%	0～10.4 wt%	0～□ wt%	0～10.4 wt%
燃料棒の温度	10～2300 °C	10～2300 °C	10～80 °C	20～2300 °C
減速材ボイド率	0～100 %	0～100 %	0% (40%模擬あり)	0～100 %
減速材温度※1	10～286 °C	10～286 °C	10～80 °C	20～286 °C
減速材中のほう素濃度	0～2230 ppm	0～2230 ppm	0～2230 ppm	0～1700 ppm
燃焼度 (燃料集合体平均)	0～80 GWd/t	0～80 GWd/t	0 GWd/t※ 2	0～80 GWd/t
制御棒吸収材	B ₄ C, ハフニウム			

※ 1 温度はLANCR計算時の定格圧力における飽和温度としている。

※ 2 ここでは燃料集合体平均燃焼度を示しているため、臨界試験では全て0GWd/tであるが照射後試験では約17～59GWd/tのペレット燃焼度を測定している。

別紙 審査会合における指摘事項（No.5）に対する回答（5/5）

■ 回答（つづき）（P.22 再掲）

- AETNAの適用範囲と妥当性確認範囲との対応の確認結果を以下に示す。

AETNAの適用範囲と妥当性確認範囲

	適用範囲	妥当性確認範囲と内訳			
		右記の合計確認範囲	プラント運転実績による妥当性確認	試験データによる妥当性確認	連続エネルギーモンテカルロ計算等による妥当性確認
燃料棒配列	7×7 ~ 10×10	4×4 ~ 10×10	8×8, 9×9, 10×10	8×8, 9×9, 4×4, 5×5	8×8, 9×9, 10×10
炉型	BWR, ABWR	BWR3/4/5/6, ABWR	BWR3/4/5, ABWR	BWR5/6, SPERT ⅢE炉心	BWR, ABWR
燃料	UO ₂ , MOX	UO ₂ , MOX	UO ₂ , MOX	UO ₂	UO ₂ , MOX
減速材温度	低温 ~ 出力運転時	低温 ~ 出力運転時	低温 ~ 出力運転時	出力運転時	出力運転時
炉圧	大気圧 ~ 8.6 MPa	大気圧~ 8.6 MPa	大気圧 ~ 7.3 MPa	0.2 ~ 8.6※ MPa	-
吸收材	制御棒 (B ₄ C, ハフニウム), ほう酸水(SLC)	制御棒 (B ₄ C, ハフニウム), ほう酸水(SLC)	制御棒 (B ₄ C, ハフニウム)	制御棒(B ₄ C)	制御棒(B ₄ C), ほう酸水(SLC)

※ 8.6 MPaは熱水力試験における高圧時の条件。なお、LANCRで計算した核定数をAETNAにて参照する際は、相対水密度を用いて内外挿するため、定格圧力よりも高圧の状態であってもAETNAは適用可能である。

別紙 審査会合における指摘事項（No.6）に対する回答（1/2）

- 指摘事項（第1076回審査会合 2022年9月29日）
 - 試験データ等と比較した結果により、妥当と判断した考え方（どういう観点から、何を満たしていればよいと考えるのか）を整理すること。

- 回答（P.8 再掲）
 - 妥当性確認における実施項目を以下に示す。

信頼性確認

- ✓ 重要な物理現象に対する解析モデルの模擬性を確認する。
- ✓ 模擬性を確認する際に達成すべき点は以下のとおり。
 - 確認は全ての重要な物理現象を網羅すること。
 - 確認は以下の解析条件に対して網羅性があること。

炉型・格子タイプ・燃料タイプ

運転状態

適用範囲

不確かさの把握

- ✓ 許認可解析への適用性確認（手順⑤）に必要な不確かさを定量的に把握する。

別紙 審査会合における指摘事項（No.6）に対する回答（2/2）

- 回答（つづき）（P.9 再掲）
- LANCR/AETNAの妥当性確認について、試験内容を基に総合効果試験と個別効果試験の観点を導入し、特に重要な総合効果試験の観点で妥当性確認の充足性を確認する。
総合効果試験と個別効果試験の定義を以下に示す。

✓ 総合効果試験

AETNAの主要な解析モデルを機能させた運転状態に対する妥当性確認

例：出力分布確認試験

直接的には核分裂反応やガンマ線反応を起因とする出力の相対分布を測定値との比較で確認するものであるが、計算の過程ではボイド分布や圧損分布など、一部を除いたAETNAの主要な解析モデルがそれぞれの感度に応じて結果に影響を及ぼしている。

→ 炉心解析と同じ条件で不確かさが把握できるこれらの試験は重要性が高く、特に実機運転データによる試験は充足性を満たす必要がある。

✓ 個別効果試験

総合効果試験では結果に対する感度が低いなどの理由で確認が困難な物理現象について関連する解析モデルのみに着目し、それ以外の解析モデルの動作を意図的に制限した状態で行う妥当性確認

例：ボイド率測定試験、チャンネル圧損試験、核定数に対する準妥当性確認

→ 総合効果試験では確認が困難な現象（熱水力モデル）、あるいは測定頻度が少ない総合効果試験（例：燃料棒出力分布（ガンマスキャンとの比較））で確認している現象（例：局所出力）の補完として実施することで充足性を確保する。

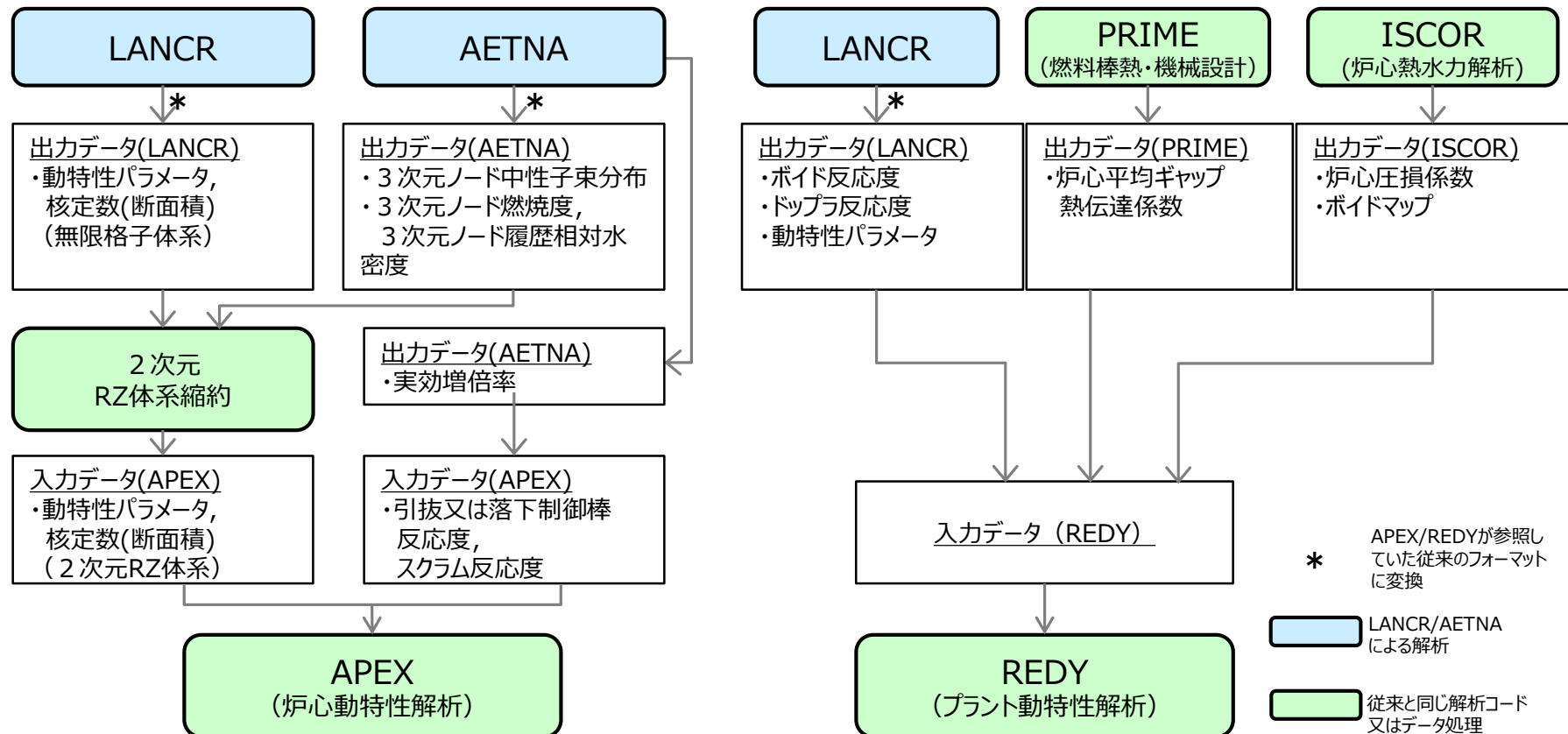
別紙 審査会合における指摘事項（No.7）に対する回答（1/2）

■ 指摘事項（第1076回審査会合 2022年9月29日）

- 安全解析コード等の入力となるLANCR/AETNAコードの出力を整理し、必要に応じて当該出力から安全解析コード等への入力のための処理プロセスも示すこと。

■ 回答

- 安全解析コードに引き渡すデータの処理プロセスの主要な例として、APEX/REDYに引き渡すデータの処理プロセスを以下に示す。



別紙 審査会合における指摘事項（No.7）に対する回答（2/2）

■ 回答（つづき）

- 原子炉設置変更許可申請書の添付書類十に示す安全解析を実施する際に各種安全解析コードに引き渡すLANCR/AETNAの出力データを以下に示す。

安全解析コードに引き渡すデータ

解析	安全解析コード	安全解析コードで使用されるLANCR/AETNAの出力データ		
		LANCR	AETNA	
運転時の異常な過渡変化の解析	原子炉起動時における制御棒の異常な引き抜き	APEX/SCAT	核定数（拡散定数、核分裂断面積、生成断面積、吸収断面積、減速断面積、中性子速度）、ドップラ係数、局所出力ピーキング係数、R因子、動特性パラメータ（遅発中性子割合、遅発中性子先行核崩壊定数）	引抜制御棒反応度、スクラム反応度 (入力作成過程で使用されるデータ) 実効増倍率、3次元ノード中性子束分布、3次元ノード燃焼度、3次元ノード履歴相対水密度
	出力運転中の制御棒の異常な引き抜き	AETNA		
	給水加熱喪失	REDY/ISCOR	ボイド反応度、ドップラ反応度、R因子、動特性パラメータ（遅発中性子割合、中性子平均寿命、遅発中性子先行核崩壊定数）	(入力作成過程で使用されるデータ) 3次元出力分布、3次元ノード燃焼度
設計基準事故解析	上記以外の運転時の異常な過渡変化の解析	REDY/SCAT	ボイド反応度、ドップラ反応度、R因子、動特性パラメータ（遅発中性子割合、中性子平均寿命、遅発中性子先行核崩壊定数）	(入力作成過程で使用されるデータ) 3次元出力分布、3次元ノード燃焼度
	原子炉冷却材喪失	LAMB/SCAT/SAFER		
	原子炉冷却材流量の喪失	REDY/SCAT/SAFER	ボイド反応度、ドップラ反応度、動特性パラメータ（遅発中性子割合、中性子平均寿命、遅発中性子先行核崩壊定数）	(入力作成過程で使用されるデータ) 3次元出力分布、3次元ノード燃焼度
	制御棒落下	APEX/SCAT	使用するデータの項目は“原子炉起動時における制御棒の異常な引き抜き”と同じ	
主蒸気管破断	LAMB/SCAT/SAFER			

別紙 審査会合における指摘事項（No.8）に対する回答（1/2）

■ 指摘事項（第1076回審査会合 2022年9月29日）

➤ 妥当性確認プロセスから、どのように解析コードの不確かさの値を算出しているのか整理すること。

■ 回答（P.24 再掲）

➤ 不確かさの把握として実施したLANCRの妥当性確認の結果、不確かさ評価方法および測定の不確かさの扱いを以下に示す。

評価指標	妥当性確認結果 ([] 内は詳細記載箇所)	不確かさ評価方法および測定の不確かさの扱い
ボイド反応度	BASALA試験とは測定の不確かさの範囲とほぼ等しい [] % の不確かさ [4.2.3.1.2] で一致した。	測定値との相対差で評価。 適用性判断では反応度係数の不確かさは積算に対して保守的に設定しており、測定の不確かさはこれに含まれる。
ドップラ反応度	[] % の不確かさを持つHellstrandらの実験式の結果に対し、実験式の持つ不確かさの範囲内ではほぼ一致 [4.2.3.2] した。	実験式と計算値の差に対し、実験式の不確かさが大きいため、実験式の不確かさをドップラ反応度の不確かさとした。実験式との比較であるため、測定の不確かさは考慮する必要はない。
ほう素価値	試験データとは測定の不確かさの範囲内で一致し [4.2.3.1.3]、燃焼度依存の95%信頼度-95%確率値の最大値は [] % Δk [添付資料 6] であることを確認した。	参照コード (MCNP5_DBRC) とLANCRにおけるほう素価値評価結果の相対差の95%信頼度-95%確率値で算出。 参照コードの不確かさ評価分も考慮しており、その中で測定の不確かさも含まれる。
遅発中性子割合	試験データとの比較を実施し、測定の不確かさの [] 以内、従来コードと同等の [] % 未満の相対差で実験値を再現すること [4.2.3.3] を確認した。	測定値と計算値の不確かさの相対差の平均値が、左記の従来許認可コードの不確かさを下回ることを確認し、従来コードの不確かさを踏襲。 適用性判断では反応度係数の不確かさは積算に対して保守的に設定しており、測定の不確かさはこれに含まれる。

別紙 審査会合における指摘事項（No.8）に対する回答（2/2）

■ 回答（つづき）（P.27 再掲）

- 不確かさの把握として実施したAETNAの妥当性確認の結果、不確かさ評価方法および測定の不確かさの扱いを以下に示す。

評価指標	妥当性確認結果（〔 〕内は詳細記載箇所）	不確かさ評価方法および測定の不確かさの扱い
炉停止余裕	炉停止余裕の妥当性確認のため、冷温時臨界固有値を確認した。ウラン燃料装荷炉心における実績臨界固有値の95%信頼度-95%確率値で [] %Δk [添付資料 6] であり、MOX装荷炉心に対しても不確かさの拡大は認められない。[添付資料 8]	冷温臨界固有値評価値のプラントごとの全データ平均値からの個々のデータのばらつきについて95%信頼度-95%確率値を評価。 測定点数が十分に大きく、かつ測定系は十分に校正されたのちのランダムな誤差と考えられることから、測定の不確かさは測定値と解析値の比較結果に含まれる。
最大制御棒価値	MOX燃料装荷炉心を含む110万kW級BWR及び80万kW級BWRの2プラント8ケースの冷温時制御棒価値測定結果に対し、計算値と測定値の差は平均 [] Δk/k'k, 標準偏差は [] Δk/k'k, 相対差の平均は [] %, 標準偏差は [] %である。[4.3.4.1]	制御棒価値の計算値と測定値の相対差の標準偏差。 適用性判断の不確かさの積算において保守的に設定しており、測定の不確かさはこれに含まれる。
熱機械 (MLHGR) 焼損 (MCPR)	ノード出力・局所出力には、核・熱流動の主要な数学的モデルがすべて影響したうえで得られる結果である。 ガンマスキャンと比較した局所出力分布RMS差は約 [] % [4.3.4.4] であり、連続エネルギーモンテカルロ計算との比較による燃料集合体内局所出力分布のRMS差 [添付資料 8] と、燃料の製造公差による不確かさと合成された局所出力分布の不確かさと同程度であった。 ウラン燃料装荷炉心(BWR大型取替及びABWR初装荷)におけるガンマスキャン測定値との比較よりノード出力のRMS差は [] %以下であり、[4.3.4.3] MOX装荷炉心に対して不確かさの拡大は認められない。[添付資料 8]	局所出力： 集合体内における局所出力分布の燃料棒ガンマスキャン結果として得られた測定値と計算値についてRMSを評価。 ノード出力： 炉内3次元ノード相対出力分布の集合体ガンマスキャン結果として得られた測定値と計算値についてRMSを評価。 測定の不確かさ（局所出力およびノード出力）： 測定点数が十分に大きく、かつ測定系は十分に校正されたのちのランダムな誤差と考えられることから、測定の不確かさは測定値と解析値の比較結果の中に含まれる。
設計出力履歴 (燃焼度)	照射後試験による測定ペレット燃焼度と計算値のRMS差は [] %であった。[4.3.4.5]	試料ごと（照射後燃料）のペレット燃焼度の測定値と計算値のRMSを評価。 測定の不確かさは減速材ボイド係数の保守因子への影響は十分に小さい。（参照P.31）

別紙 審査会合における指摘事項（No.9）に対する回答

■ 指摘事項（第1076回審査会合 2022年9月29日）

- 解析コードの不確かさと設計における設定値との比較においては、解析コード以外の不確かさ（取替炉心段階に生じる不確かさ等）の値も示した上で、設計における設定値内であることを示すこと。

■ 回答（つづき）（P.30 再掲）

- 妥当性確認の結果得られた注目すべき応答変量の不確かさの積算結果と、要求すべき予測性能の比較結果を以下に示す。LANCR/AETNAはすべての要求すべき予測性能を満足しており、島根3号炉許認可静特性解析に適用性があると判断できる。

注目すべき応答変量やその他の不確かさと要求すべき予測性能の比較結果

項目	L/A使用時の不確かさ			要求すべき 予測性能	備考
	注目すべき応答変量 ((L)はLANCRを、 (A)はAETNAを表す。)	LANCR/AETNA以外の 不確かさ	左記合計値		
反応度係数の 保守因子	減速材ボイド係数(L), $\beta_{eff}(L)$, ノード出力(A), ノード燃焼度(A)	・炉心一点近似モデル由来の不確かさ ・取替炉心段階に生じる不確かさ		25 %	[添付資料4]
制御棒価値の 保守因子	ドップラ係数(L), $\beta_{eff}(L)$, 制御棒価値(A)	・空間縮約由来の不確かさ ・取替炉心段階に生じる不確かさ		0.3 % Δk	[添付資料5]
SLMCPR	ノード出力(A)	—		5.2 %	—
	局所出力(A)	—		3.0 %	—
SLC	ほう素価値(L), 冷温臨界固有値(A)	参照コードの不確かさ		1.5 % Δk	[添付資料6]

別紙 審査会合における指摘事項（No.10）に対する回答

■ 指摘事項（第1100回審査会合 2022年12月13日）

- 手順⑤のLANCR/AETNAの達成すべき予測性能について、指標となるパラメータの選定及び許容される不確かさ等の達成基準の考え方を説明すること。また、安全解析の対象となる平衡炉心の成立性に関しても、予測性能を設定する必要はないか説明すること。

■ 回答（P.29 再掲）

- 安全解析で重要な裕度設定と関連するもの（反応度係数の保守因子、制御棒落下解析での保守因子）、許認可静特性解析において重要で明示的な裕度設定を行っているもの（SLMCPR、SLC）について注目すべき応答変量と要求すべき予測性能を以下に示す。

注目すべき応答変量と要求すべき予測性能

項目	不確かさの考慮方法	設計裕度で考慮する不確かさと要求すべき予測性能			備考
		注目すべき応答変量 ((L)はLANCRを、 (A)はAETNAを表す。)	LANCR/AETNA以外の 不確かさ	左記積算に対する 要求すべき予測性能	
反応度係数の保守因子	不確かさ成分の積算値	減速材ボイド係数(L), $\beta_{eff}(L)$, ノード出力(A), ノード燃焼度(A)	・炉心一点近似モデル由来の不確かさ ・取替炉心段階に生じる不確かさ	25 %	許認可解析における包括解析で考慮
制御棒価値の保守因子	不確かさ成分の積算値	ドップラ係数(L), $\beta_{eff}(L)$, 制御棒価値(A)	・空間縮約由来の不確かさ ・取替炉心段階に生じる不確かさ	0.3 % Δk	許認可解析における包括解析で考慮
SLMCPR	統計解析 (各不確かさ成分を独立に扱う)	ノード出力(A)	—	5.2 %	許認可解析における包括解析で考慮
		局所出力(A)	—	3.0 %	許認可解析における包括解析で考慮
SLC	不確かさ成分の積算値	ほう素価値(L), 冷温臨界固有値(A)	参照コードの不確かさ	1.5 % Δk	取替炉心段階で個別炉心に対して考慮

なお、原子炉設置変更許可申請書添付書類八において解析例として示す平衡炉心の成立性を考慮すると MLHGR, MCPR, 炉停止余裕の3つが注目すべき応答変量の候補として挙げられる。

MLHGR 及び MCPR はノード出力及び局所出力が関係するが、これらは SLMCPR の観点で確認している。

停止余裕については、原子炉設置変更許可申請書で設定している裕度に対し、LANCR/AETNA の冷温時実効増倍率の不確かさが十分に小さく、許認可適用性判断への影響は少ない。

別紙 審査会合における指摘事項（No.12）に対する回答（1/3）

- 指摘事項（第1100回審査会合 2022年12月13日）
 - 手順④の妥当性確認を通した総括不確かさの評価について、物理的モデルの不確かさの影響についても説明すること。
- 回答（P.24 再掲）
 - 不確かさの把握として実施したLANCRの妥当性確認の結果、不確かさ評価方法および測定の不確かさの扱いを以下に示す。

評価指標	妥当性確認結果 ([] 内は詳細記載箇所)	不確かさ評価方法および測定の不確かさの扱い
ボイド反応度	BASALA試験とは測定の不確かさの範囲とほぼ等しい [] % の不確かさ [4.2.3.1.2] で一致した。	測定値との相対差で評価。 適用性判断では反応度係数の不確かさは積算に対して保守的に設定しており、測定の不確かさはこれに含まれる。
ドップラ反応度	[] % の不確かさを持つHellstrandらの実験式の結果に対し、実験式の持つ不確かさの範囲内ではほぼ一致 [4.2.3.2] した。	実験式と計算値の差に対し、実験式の不確かさが大きいため、実験式の不確かさをドップラ反応度の不確かさとした。実験式との比較であるため、測定の不確かさは考慮する必要はない。
ほう素価値	試験データとは測定の不確かさの範囲内で一致し [4.2.3.1.3]、燃焼度依存の95%信頼度-95%確率値の最大値は [] % Δk [添付資料 6] であることを確認した。	参照コード (MCNP5_DBRC) とLANCRにおけるほう素価値評価結果の相対差の95%信頼度-95%確率値で算出。 参照コードの不確かさ評価分も考慮しており、その中で測定の不確かさも含まれる。
遅発中性子割合	試験データとの比較を実施し、測定の不確かさの [] 以内、従来コードと同等の [] % 未満の相対差で実験値を再現すること [4.2.3.3] を確認した。	測定値と計算値の不確かさの相対差の平均値が、左記の従来許認可コードの不確かさを下回ることを確認し、従来コードの不確かさを踏襲。 適用性判断では反応度係数の不確かさは積算に対して保守的に設定しており、測定の不確かさはこれに含まれる。

別紙 審査会合における指摘事項（No.12）に対する回答（2/3）

- 回答（つづき）（P.27 再掲）
- 不確かさの把握として実施したAETNAの妥当性確認の結果、不確かさ評価方法および測定の不確かさの扱いを以下に示す。

評価指標	妥当性確認結果（〔 〕内は詳細記載箇所）	不確かさ評価方法および測定の不確かさの扱い
炉停止余裕	炉停止余裕の妥当性確認のため、冷温時臨界固有値を確認した。ウラン燃料装荷炉心における実績臨界固有値の95%信頼度-95%確率値で [] % Δk [添付資料 6] であり、MOX装荷炉心に対しても不確かさの拡大は認められない。[添付資料 8]	冷温臨界固有値評価値のプラントごとの全データ平均値からの個々のデータのばらつきについて95%信頼度-95%確率値を評価。 測定点数が十分に大きく、かつ測定系は十分に校正されたのちのランダムな誤差と考えられることから、測定の不確かさは測定値と解析値の比較結果に含まれる。
最大制御棒価値	MOX燃料装荷炉心を含む110万kW級BWR及び80万kW級BWRの2プラント8ケースの冷温時制御棒価値測定結果に対し、計算値と測定値の差は平均 [] $\Delta k/k'k$ 、標準偏差は [] $\Delta k/k'k$ 、相対差の平均は [] %、標準偏差は [] %である。[4.3.4.1]	制御棒価値の計算値と測定値の相対差の標準偏差。 適用性判断の不確かさの積算において保守的に設定しており、測定の不確かさはこれに含まれる。
熱機械 (MLHGR) 焼損 (MCPR)	ノード出力・局所出力には、核・熱流動の主要な数学的モデルがすべて影響したうえで得られる結果である。 ガンマスキャンと比較した局所出力分布RMS差は約 [] % [4.3.4.4] であり、連続エネルギーモンテカルロ計算との比較による燃料集合体内局所出力分布のRMS差 [添付資料 8] と、燃料の製造公差による不確かさと合成された局所出力分布の不確かさと同程度であった。 ウラン燃料装荷炉心(BWR大型取替及びABWR初装荷)におけるガンマスキャン測定値との比較よりノード出力のRMS差は [] %以下であり、[4.3.4.3] MOX装荷炉心に対して不確かさの拡大は認められない。[添付資料 8]	局所出力： 集合体内における局所出力分布の燃料棒ガンマスキャン結果として得られた測定値と計算値についてRMSを評価。 ノード出力： 炉内3次元ノード相対出力分布の集合体ガンマスキャン結果として得られた測定値と計算値についてRMSを評価。 測定の不確かさ（局所出力およびノード出力）： 測定点数が十分に大きく、かつ測定系は十分に校正されたのちのランダムな誤差と考えられることから、測定の不確かさは測定値と解析値の比較結果の中に含まれる。
設計出力履歴 (燃焼度)	照射後試験による測定ペレット燃焼度と計算値のRMS差は [] %であった。[4.3.4.5]	試料ごと（照射後燃料）のペレット燃焼度の測定値と計算値のRMSを評価。 測定の不確かさは減速材ボイド係数の保守因子への影響は十分に小さい。（参照P.31）

別紙 審査会合における指摘事項（No.12）に対する回答（3/3）

- 回答（つづき）（P.31 再掲）
- 許認可解析への適用性確認のための不確かさの積算の実施例として、反応度係数（減速材ボイド係数）の保守因子についての実施結果を以下に示す。

解析コード	応答変量もしくはコード以外の不確かさ	不確かさ
LANCR	減速材ボイド係数、実効遅発中性子割合	
AETNA	3次元出力分布、3次元ノード燃焼度	
-	炉心一点近似モデルの不確かさ	
-	取替炉心の詳細設計段階の不確かさ	
	不確かさの合計（二乗和平方根）	

注：3次元出力分布と3次元ノード燃焼度の不確かさに起因する減速材ボイド係数の不確かさ。

仮に3次元ノード燃焼度の測定の不確かさを考慮した場合でも、「3次元出力分布、3次元ノード燃焼度」の不確かさは %程度となるが、この値とした場合でも不確かさの合計値（上記表に示す二乗和平方根の小数点以下切り上げ値）は変わらない。

応答変量を積み上げた結果は % であり、要求すべき予測性能（25%）の範囲内である。

参考① 妥当性確認において留意すべき事項とその対応

➤ 妥当性確認実施時の留意事項としてノード分割、スケール効果及びユーザ効果がある。これらへの対応を以下に示す。

✓ ノード分割

影響：ノード（数値計算時に空間を離散化する際のメッシュ幅）の大きさが妥当性確認時と炉心解析時で異なることにより、両者の間で不確かさなどに差異が発生する影響。

対応：ノード分割は、従来コードと同様な設定としている。これらはBWR体系の静特性炉心解析に一般的に用いられてきた信頼における設定値であり、PWR体系ベンチマークやSPERTⅢ過渡試験などの非BWR体系の妥当性確認を除いて、検証及び妥当性確認を通して炉心解析時と等しい分割条件としている。

✓ スケール効果

影響：妥当性確認時と炉心解析時の取り扱う空間サイズの違いにより支配現象の影響具合が変わることで両者の間で不確かさなどに差異が発生する影響。

対応：影響が懸念される熱水力試験（ボイド率測定・チャンネル圧損試験）では、実機と同サイズの模擬燃料を使用している。核計算においては、解析体系の違いに対して線形性が維持されることからスケール効果の懸念はない。

✓ ユーザ効果

影響：ユーザの知識レベルなどに起因してノード分割などの解析条件設定に問題があるので、妥当性確認においてコード本来の性能が發揮できない影響。

対応：QMSにおける力量管理のもと、一定の技能を有する者が妥当性確認の実施や審査に携わることで結果に有意な影響が出ないよう配慮している。